

МАГНИТОИНДУЦИРОВАННАЯ ПРОСТРАНСТВЕННАЯ ДИСПЕРСИЯ КРИСТАЛЛОВ В ЭКСИТОННОЙ ОБЛАСТИ СПЕКТРА

Е.Л.Иченко, В.П.Кочерешко, Г.В.Михайлов
И.Н.Уральцев

Предсказано резонансное увеличение магнитоиндукционной пространственной дисперсии осей в окрестности экситонных состояний в кристаллах без центра инверсии. Обнаружено яркое проявление этого эффекта в областях пересечения дисперсионных ветвей магнитополяризаторов в кристаллах CdS и CdSe.

Магнитоиндукционная пространственная дисперсия (МИПД) кристаллов, линейная по волновому вектору k и внешнему магнитному полю H , проанализирована Аграновичем и Гинзбургом в². Она описывается псевдотензором четвертого ранга A :

$$\delta \epsilon_{\alpha\beta}(\omega, k, H) = A_{\alpha\beta\gamma\delta}(\omega) H_\gamma k_\delta. \quad (1)$$

Так как тензор диэлектрической проницаемости в средах без магнитного упорядочения удовлетворяет принципу симметрии кинетических коэффициентов

$$\epsilon_{\alpha\beta}(\omega, k, H) = \epsilon_{\beta\alpha}(\omega, -k, -H), \quad (2)$$

то тензор $A_{\alpha\beta\gamma\delta}$ симметричен по отношению к перестановке индексов α и β . По этой причине, в отличие от естественной оптической активности, электротигриации и тензогирации, вклад (1) приводит не к вращению плоскости поляризации линейно поляризованного света, а к двулучепреломлению¹.

Экспериментально МИПД наблюдалась в кристаллах CdS в известных работах по эффекту инверсии магнитного поля (см., например,³, ссылки на другие работы приведены в¹) и в кристаллах LiIO₃⁴. В этих работах изучались эффекты, обусловленные изменением в магнитном поле одной из диагональных компонент $\epsilon_{\alpha\alpha}$ тензора диэлектрической проницаемости (ее мнимой части в случае CdS и вещественной части в случае LiIO₃).

В настоящей работе обнаружено проявление недиагональных компонент тензора $\epsilon_{\alpha\beta}$, индуцируемых магнитным полем и нечетных как по H , так и по k (x_α, x_β – главные оси симметрии кристалла). Таким образом, впервые обнаружена магнитоиндукционная пространственная дисперсия осей – определяемая вкладом (1) зависимость направления главных осей тензора $\epsilon_{\alpha\beta}(t-t', r-r', H)$ от разности координат ($r-r'$). Исследовались низкотемпературные ($T=1,6$ К) спектры пропускания тонких (толщиной 0,5÷50 мкм) кристаллов CdS, CdSe в окрестности экситонов $A_{n=1}$ и $B_{n=1}$. Магнитное поле H было направлено параллельно оси C_6 (ось z), свет распространялся вдоль оси $y \perp C_6$, падающий на кристалл свет был поляризован вдоль оси $x \perp C_6$, на выходе анализировался свет, поляризованный по оси z . В указанной геометрии сигнал на выходе пропорционален величине

$$F = |\epsilon_{xz}^{(1)} / (\epsilon_{xx}^{(1)} - \epsilon_{zz}^{(1)})|^2$$

(при условии, что $F \ll 1$). Здесь $\epsilon_{\alpha\beta}^{(1)}$ – поперечный тензор диэлектрической проницаемости. В окрестности экситонного резонанса $A_{n=1}$ при $H \parallel z, k \parallel y$

$$\epsilon_{xz}^{(1)} = \epsilon_{xz} - \frac{\epsilon_{xy}\epsilon_{yz}}{\epsilon_{yy}} = \epsilon_{\perp}^{(0)} \frac{ak_y}{d_0} \frac{\omega_{LT}\Omega_{||}/2}{(\omega-\omega_1)(\omega-\omega_2)}, \quad (3)$$

¹⁾ В работе² проигнорирован принцип Онсагера (2) и в результате сделан ошибочный вывод о возможности дополнительного оптического вращения, пропорционального $H_z k_z$ (z – главная оптическая ось кристаллов симметрии C_3 и C_6).

где $\epsilon_{\perp}^{(0)} = \epsilon_{xx}^{(0)} = \epsilon_{yy}^{(0)}$ – фоновая диэлектрическая проницаемость, $\hbar\Omega_{||} = g_{||}\mu_B H_z$, $g_{||}$ – фактор, μ_B – магнетон Бора, ω_{LT} – продольно-поперечное расщепление, $\omega_{1,2} = \omega_0(\mathbf{k}) \pm \pm (\Omega_{||}/2) - i\gamma$, $\omega_0(\mathbf{k})$ – энергия механического экситона с учетом диамагнитного сдвига, d_0 – матричный элемент оптического возбуждения экситона Γ_5 в дипольном приближении, $a k_y$ – линейная по \mathbf{k} поправка к этому матричному элементу, γ – затухание экситона. Выражения для $\epsilon_{aa}^{(\perp)}$ для краткости не приводим.

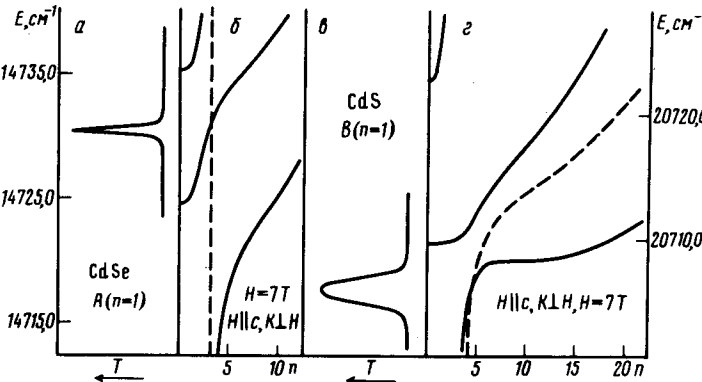


Рис. 1. Дисперсия магнитополяритонов (*б*, *г*) и спектры пропускания (*а*, *в*) в скрещенных поляриоидах ($A \parallel c$, $P \perp c$) в магнитном поле $H = 7$ Т в геометрии $H \parallel c$, $K \perp H$ в области экситонных состояний: $A_{n=1}$ в CdSe (*а*, *б*), $B_{n=1}$ в CdS (*в*, *г*)

На рис.1, *б* показаны дисперсионные кривые для нормальных световых волн (поляритонов) в CdSe, рассчитанные в магнитном поле с учетом линейных по \mathbf{k} членов⁵, но в пренебрежении пространственной дисперсией, индуцированной магнитным полем, т.е. при $\epsilon_{xz}^{(\perp)} = 0$. Видно, что в области продольно-поперечного расщепления имеется „изотропная точка“ $\omega_{iz} \approx \omega_0(0) + \omega_{LT}$, в которой происходит пересечение ветвей двух нормальных волн (ветвь 2 и пунктирная прямая). При приближении к изотропной точке модуль разности $(\epsilon_{xx}^{(\perp)} - \epsilon_{zz}^{(\perp)})$ сильно уменьшается, что должно приводить к резкому возрастанию величины F , а значит и к резонансному поведению вблизи ω_{iz} сигнала при скрещенных поляризаторе и анализаторе (с полушириной порядка экситонного затухания).

В соответствии с предсказанием теории при включении внешнего магнитного поля в CdSe в области продольно-поперечного расщепления состояния $A_{n=1}$ обнаружен сигнал пропускания в скрещенных поляриоидах (рис.1, *а*). Сигнал надежно регистрировался, начиная с полей $H = 0,5$ Т (при $H = 0$ сигнал полностью отсутствовал); по мере возрастания поля до 7 Т его интенсивность возрастала более чем на порядок, а полуширина оставалась малой ($\sim 0,7$ см⁻¹). Исследование магнитополяритонной дисперсии⁶ и зависимость спектрально-го положения сигнала от величины магнитного поля (рис.2) позволяют однозначно сопоставить это пропускание с изотропной точкой. Эффект связан, во-первых, со смешиванием в магнитном поле $H \parallel z$ поляритона Γ_{5x} с продольным экситоном Γ_{5y} и, во-вторых, с индуцированием полем E_z поляризаций среды вдоль оси z за счет линейного по k_y вклада в матричный элемент оптического возбуждения экситона Γ_5 .

Явление МИПД удалось обнаружить также в кристалле CdS в окрестности основного состояния экситона B . Возникающий в магнитном поле сигнал пропускания смешен на 8 см⁻¹ в низкоэнергетическую сторону от резонанса $B_{n=1}$ (см. рис. 1 *в*, *г*). В этом случае эффект возникает в результате смешивания в магнитном поле состояний Γ_{5x} и Γ_{5y} и смешивания за счет линейных по \mathbf{k} членов продольного экситона Γ_{5y} с поляритоном Γ_1 (в обозначениях⁷ эти члены пропорциональны константе β_1). К эффекту приводит также смешивание в магнитном поле состояний Γ_1 и Γ_2 и линейное по \mathbf{k} смешивание (пропорциональное константе β_2) экситонных состояний Γ_2 и Γ_{5x} .

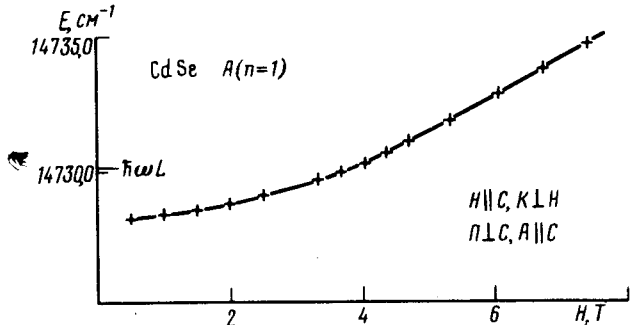


Рис. 2. Зависимость энергетического положения сигнала пропускания от величины магнитного поля в области экситонного состояния
 $A_{n=1}$ в CdSe

Подробный расчет сигнала МИПД и сравнение с экспериментальными данными будут проведены в отдельной работе.

Основная черта обнаруженного явления – резонансное поведение в области пересечения дисперсионных кривых – служит надежным и точным способом определения изотропных точек магнитополяритонов в кристаллах без центра инверсии. Исследование этого явления может быть чувствительным методом для обнаружения перестройки энергетического спектра в поле интенсивной световой волны.

Литература

1. Агранович В.М., Гинзбург В.Л. Кристаллооптика с учетом пространственной дисперсии и теория экситонов. М.: Наука, 1965.
2. Влох О.Г. УФЖ. 1981, 26, 1623.
3. Гросс Е.Ф., Захарченя Б.П., Константинов О.В. ФТТ, 1961, 3, 305.
4. Маркелов В.А., Новиков М.А., Туркин А.А. Письма в ЖЭТФ, 1977, 25, 404.
5. Кочерешко В.П., Михайлов Г.В., Уральцев И.Н. ФТТ, 1983, 25, 752.
6. Кочерешко В.П., Михайлов Г.В., Уральцев И.Н. ФТТ, 1982, 24, 2697.
7. Ивченко Е.Л., Селькин А.В. ЖЭТФ, 1979, 76, 1837.